



بیست و ششمین کنفرانس اپتیک و
فوتونیک ایران و دوازدهمین کنفرانس
مهندسی و فناوری فوتونیک ایران،
دانشگاه خوارزمی،
تهران، ایران.
۱۶-۱۵ بهمن ۱۳۹۸



طراحی و ساخت الکتروود شفاف نانوساختار برای سلول خورشیدی پروسکایتی

سید سعید موسویان، سید محمد باقر قریبشی و آرزو محمدبیگی

کاشان، دانشگاه کاشان، دانشکده ی فیزیک

Saeed7970@gmail.com

چکیده - در این پژوهش، ابتدا الکتروود شفاف $\text{MoO}_3/\text{Ag}/\text{MoO}_3$ با ضخامت بهینه ی $20/13/20$ نانومتر طراحی و ساخته شد. خواص اپتیکی و الکتریکی آن از قبیل تراگسیل اپتیکی و مقاومت سطحی مورد بررسی قرار گرفتند که برای آن‌ها در طول موج 550 نانومتر، به ترتیب اعداد 62.8% و $4.56 \Omega/\text{cm}^2$ بدست آمدند. سپس، بعد از ساخت سلول خور شیدی پرو سکایتی با ساختار $\text{Glass}/\text{FTO}/\text{TiO}_2/\text{Perovskite}/\text{CuPc}$ ، الکتروود شفاف طراحی شده با استفاده از روش لایه نشانی تبخیر در خلأ به عنوان کاتد در سلول خورشیدی به کار برده شد. در نهایت، مشخصه یابی جریان-ولتاژ سلول خورشیدی پروسکایتی ساخته شده با استفاده از کاتد شفاف، بازدهی 4% را نشان داد. بنابراین، از کاتد شفاف به کار رفته در این ساختار می توان به جای کاتد گران قیمت طلا در سلول های خورشیدی پروسکایتی استفاده کرد.

کلید واژه- بازدهی، $\text{MoO}_3/\text{Ag}/\text{MoO}_3$ ، سلول خورشیدی پروسکایتی، الکتروود شفاف، تبخیر در خلأ

Design and Fabrication of Nanostructured Transparent electrode for Perovskite Solar Cell

Seyed Saeed Moosavian, Seyed Mohamad Bagher Ghoreyshi, and Arezoo Mohammad Beigi

Department of Physics, University of Kashan, Kashan

Abstract- In this study, first, $\text{MoO}_3/\text{Ag}/\text{MoO}_3$ transparent electrode with optimum thicknesses of $20/13/20$ nm was designed and fabricated. The optical and electrical properties of it such as optical transmission and sheet resistance were investigated that at 550 nm wavelength, 62.8% and $4.56 \Omega/\text{cm}^2$ were obtained, respectively. Then, after fabrication of the perovskite solar cell with $\text{Glass}/\text{FTO}/\text{TiO}_2/\text{Perovskite}/\text{CuPc}$ structure, the designed transparent electrode by vacuum evaporation deposition method was used as cathode in solar cell. Finally, the current- voltage characterization of the fabricated perovskite solar cell with transparent cathode showed 4% efficiency. Therefore, the transparent cathode applied in this structure can be used instead of the expensive gold cathode in the Perovskite solar cells.

Keywords: Efficiency, $\text{MoO}_3/\text{Ag}/\text{MoO}_3$, Perovskite Solar Cell, Transparent electrode, Vacuum Evaporation.

مقدمه

امروزه با توجه به رشد روز افزون مصرف انرژی و محدودیت‌هایی که انرژی‌های تجدیدناپذیر ایجاد می‌کنند، بشر به دنبال جایگزین کردن منابع تجدیدپذیر و پاک در همه‌ی عرصه‌ها است. در میان چشمه‌های تجدیدپذیر، سلول‌های فوتوولتائیک بیش از نیم قرن هست که مورد استفاده قرار می‌گیرند. سلول‌های فوتوولتائیک بدون اینکه هیچ گونه آلودگی‌ای برای محیط زیست در پی داشته باشند، مستقیماً انرژی خورشیدی را به انرژی الکتریکی تبدیل می‌کنند. مواد هالیدی فلزی آلی- معدنی با عنوان پروسکایت برای ساخت سلول‌های خورشیدی مورد توجه بسیار زیادی قرار گرفته‌اند. اخیراً، بازدهی سلول‌های خورشیدی پروسکایتی از ۲۳ درصد فراتر رفته است [۱] که این موفقیت به خاطر دلایلی از جمله نزدیکی گاف نواری انرژی آن‌ها به گاف انرژی بهینه (که در حدود ۱,۵۵ الکترون ولت است)، نزدیکی به انرژی پیوندی کوچک زوج الکترون-حفره، تحرک پذیری بالای حامل، ضرایب جذب بالا، ثابت دی الکتریک بزرگ، طول‌های پخش زیادالکترون-حفره ممکن شده است [۲]. رایج‌ترین ماده پروسکایت مورد استفاده در ساختار سلول‌های خورشیدی، ترکیب آلی معدنی با فرمول شیمیایی $\text{CH}_3\text{NH}_3\text{PbX}_3$ است که اتم X می‌تواند یون‌های هالوژنی مانند ید، برم و یا کلر باشد. گاف نواری انرژی این ترکیب با کنترل مقدار عناصر هالوژنی قابل تغییر است که می‌تواند منجر به جذب بخش عمده‌ای از نور خورشید شود [۳]. یکی دیگر از ویژگی‌های جالب این سلول‌های خورشیدی با بازدهی بالا، این است که امکان ساخت سلول خورشیدی پروسکایتی نیمه شفاف وجود دارد. این سلول‌های نیمه شفاف کاربردهای جالبی در ساخت سیستم‌های فوتوولتائیک یکپارچه و وسایل الکترونیکی دارند [۴]. به طور کلی، سیستم‌های فوتوولتائیک امروزی نظیر سلول‌های خورشیدی پروسکایتی به علت استفاده از فلزاتی در کاتد مانند Ag، Au، Pt و Al که بازتاب بالایی دارند، غیرشفاف هستند. از طرف دیگر، اگرچه سلول‌های خورشیدی پروسکایتی نیمه شفاف به سادگی با استفاده از

لایه‌های بسیار نازکی از فلز Au یا Ag به عنوان کاتد، می‌توانند ساخته شوند؛ اما به دلیل بازتاب بالایی که دارند اتلاف انرژی در آنها بسیار زیاد است. می‌توان برای کاتدهای شفاف از نامزدهای مناسبی نظیر: فیلم‌های فلزی نازکی که توسط دی الکتریک‌هایی با گاف انرژی بالا ساندویچ شده‌اند، نانوسیم‌های فلزی، نانولوله‌های کربنی، اکسیدهای رسانای شفاف و پلیمرهای رسانا، نام برد [۵]. به عبارت دیگر، برای کاهش اتلاف انرژی از الکتروود نازک فلزی که دارای بازتاب بالا است، از لایه‌ی دی الکتریک مانند اکسید مولیبدن (MoO_3) استفاده می‌شود که برای عملکرد بهتر سلول‌های خورشیدی نیمه شفاف مؤثر است؛ این ساختارها به صورت الکتروود دی الکتریک/فلز/دی الکتریک (D/M/D) شناخته می‌شوند [۶]. انواع مختلفی از مواد در الکتروودهای چند لایه استفاده می‌شوند؛ به طور معمول برای لایه‌ی فلزی از موادی با ضخامت‌های فوق نازک و دارای تابع کار بالا مانند Ag، Au و Cu و برای لایه دی الکتریک از اکسیدهای فلزی مانند NiO ، V_2O_5 ، MoO_3 ، WO_3 استفاده می‌شود [۷]. در این مقاله، از الکتروود چند لایه‌ی $\text{MoO}_3/\text{Ag}/\text{MoO}_3$ به عنوان کاتد در سلول خورشیدی پروسکایتی استفاده شده است؛ در الکتروود مذکور، اولین لایه (MoO_3)، نقش لایه‌ی تزریق کننده/ استخراج کننده‌ی حفره را ایفا می‌کند و آخرین لایه‌ی الکتروود (MoO_3) نیز می‌تواند بازتاب از الکتروود سه لایه‌ای را کنترل کند که در صورت عدم وجود این لایه، چگالی جریان مدار کوتاه (J_{sc}) برای سلول خورشیدی نیمه شفاف مقدار کمی را نشان می‌دهد. به طور معمول، در سلول‌های خورشیدی نیمه شفاف با الکتروود D/M/D، ضخامت بهینه برای لایه‌ی خارجی الکتروود (MoO_3) ۲۰ تا ۴۰ نانومتر گزارش شده است [۸]. مقاومت سطحی برای چنین ساختارهایی در حدود $40 \Omega/\text{cm}^2$ گزارش شده که از مرتبه مقاومت سطحی فیلم‌های تجاری FTO ($36 \Omega/\text{cm}^2$) است. در این پژوهش، ابتدا با استفاده از نرم افزار Mathcad15 به منظور طراحی و بهینه سازی سیستم سه لایه‌ی DMD (الکتروود شفاف) از نظریه ماتریس انتقال لایه‌های نازک استفاده شد [۹] و ضخامت بهینه ۲۰/۱۳/۲۰ نانومتر برای لایه‌های آن به دست آمد. سپس، خواص

میکرولیتر کلروبنزن بر روی پروسکایت چکانده شود. بعد از خشک شدن زیرلایه‌ها در دمای ۱۰۰ درجه سانتی‌گراد به مدت ۵ دقیقه، فتالوسیانین مس (CuPc) به عنوان لایه‌ی انتقال دهنده‌ی حفره با استفاده از دستگاه تبخیر در خلأ در فشار $10^{-4} \times 3$ میلی بار به ضخامت ۳۰ نانومتر بر روی زیرلایه، لایه نشانی شد. لازم به ذکر است که در این دستگاه برای اندازه‌گیری ضخامت لایه‌ها از یک دستگاه ضخامت سنج بلور کوارتز استفاده شده است که در هر لحظه می‌تواند ضخامت لایه و آهنگ انباشت را حین لایه نشانی بر روی صفحه نمایشگر نشان دهد. سپس برای لایه نشانی کاتد، اکسید مولیبدن و فلز نقره (با خلوص ۹۹/۹۹ درصد) که به ترتیب در بوته‌های مولیبدن و تنگستن قرار داده شده بودند، با دستگاه تبخیر در خلأ صورت $\text{MoO}_3(20\text{nm})/\text{Ag}(13\text{nm})/\text{MoO}_3(20\text{nm})$ بر روی زیر لایه نشانی شدند که البته برای کنترل ضخامت لایه‌ها از شاتر مکانیکی استفاده شد.

نتایج و بحث

طیف تراگیسیل اپتیکی و مقاومت سطحی ساختار $\text{MoO}_3/\text{Ag}/\text{MoO}_3$ به ترتیب توسط دستگاه اسپکتروفوتومتر دو پرتویی و دستگاه پروب چهارنقطه‌ای اندازه‌گیری شدند. در شکل ۱ نتایج تجربی و شبیه‌سازی شده‌ی تراگیسیل اپتیکی الکتروود شفاف مشاهده می‌شود. همانطور که مشخص است، در طیف تجربی و شبیه‌سازی عبور ساختار در طول موج ۵۵۰ نانومتر به ترتیب ۶۲٫۸٪ است؛ این تفاوت به این دلیل است که در شبیه‌سازی طیف عبور ساختار مورد نظر، ضریب شکست و ضریب خاموشی MoO_3 و Ag به صورت حجمی (bulk) در نظر گرفته شده است در حالی که طیف عبور تجربی، حاصل از لایه‌های نازکی است که با کیفیت بالا روی هم انباشت شده‌اند. همچنین، مقاومت سطحی اندازه‌گیری شده به صورت $4.56 \Omega/\text{cm}^2$ بدست آمد که در مقایسه با

اپتیکی و الکتریکی آن از جمله طیف تراگیسیل اپتیکی و مقاومت سطحی اندازه‌گیری شدند که در طول موج ۵۵۰ نانومتر به ترتیب اعداد ۶۲٫۸٪ و $4.56 \Omega/\text{cm}^2$ بدست آمد. در نهایت، سلول خورشیدی پروسکایتی با ساختار $\text{Glass}/\text{FTO}/\text{TiO}_2/\text{Perovskite}/\text{CuPc}$ ساخته شد و الکتروود طراحی شده با ضخامت بهینه، به عنوان کاتد در سلول خورشیدی ساخته شده، به روش تبخیر در خلأ لایه نشانی شد.

روش ساخت

برای ساخت سلول خورشیدی پروسکایتی، ابتدا شیشه‌ی لایه‌نشانی شده با اکسید قلع آلیپده شده با فلورین (FTO) به ابعاد $1 \times 1.5 \text{cm}^2$ برش داده شد و سپس با پودر روی و اسید کلریدریک با توجه به الگوی مورد نیاز، تحت سونش قرار گرفت. در ادامه، به ترتیب در آب و صابون، استون، اتانول و آب مقطر شستشو داده شدند که در هر مرحله ظرف حاوی زیرلایه‌ها به مدت ده دقیقه در حمام آلتراسونیک قرار گرفت و در نهایت با هوای تمیز به طور کامل خشک شدند. سپس لایه سدکننده‌ی الکترون (محللول تیتانیوم دی اکسید TiO_2) در اتانول) با دستگاه لایه نشانی چرخشی به مدت ۶۰ ثانیه با دور ۴۰۰۰ بر روی زیرلایه‌ها لایه نشانی و بعد به مدت یک ساعت در کوره با دمای 500°C بازپخت شد. در مرحله بعد برای ساخت محللول پروسکایت، ابتدا محللول یدید سرب (PbI_2) با انحلال ۴۶۰ میلی گرم پودر PbI_2 در ۶۳۰ میکرولیتر دی متیل فرمامید (DMF) و ۷۵ میکرولیتر دی متیل سولفوکسید (DMSO) آماده شد و به مدت ۴ ساعت در دمای ۷۰ درجه سانتی‌گراد قرار گرفت. سپس به میزان ۱۶۰ میلی گرم پودر متیل آمونیوم یدید (MAI) را به محللول PbI_2 اضافه کردیم و پروسکایت آماده شده با دستگاه لایه نشانی چرخشی به مدت ۴۵ ثانیه با سرعت ۴۰۰۰ دور بر دقیقه روی زیرلایه قبلی لایه نشانی شد؛ البته، در ثانیه پانزدهم لایه نشانی محللول پروسکایت، باید به میزان ۱۵۰

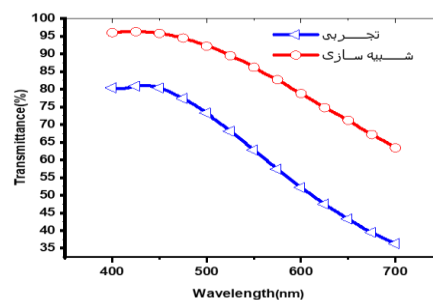
نتیجه گیری

در این پژوهش، بعد از طراحی الکتروود شفاف نانوساختار $\text{MoO}_3/\text{Ag}/\text{MoO}_3$ به کمک نرم افزار Mathcad، ضخامت بهینه‌ی مناسب برای سه لایه‌ای به دست آمد. سپس با ساخت این الکتروود، بررسی خواص اپتیکی و الکتریکی آن نشان داد که شفافیت و مقاومت مناسب جهت استفاده در سلول خورشیدی به عنوان کاندید را دارد. در نهایت، با ساخت سلول خورشیدی پروسکایتی با استفاده از این الکتروود، بازدهی قابل قبول به دست آمده به خوبی نشان داد که می‌تواند جایگزین مناسبی برای کاندید گران قیمت طلا در سلول‌های خورشیدی باشد.

مرجع‌ها

- [1] W.S. Yang, B.-W. Park, E.H. Jung, N.J. Jeon, Y.C. Kim, D.U. Lee, S.S. Shin, J. Seo, E.K. Kim, J.H. Noh, S.I. Seok, "Iodide management in formamidinium-lead-halide-based perovskite layers for efficient solar cells", *Science*, Vol. 356, pp.1376-1379, 2017.
- [2] C. Wehrenfennig, M. Liu, H.J. Snaith, M.B. Johnston, L.M. Herz, "Homogeneous Emission Line Broadening in the Organo Lead Halide Perovskite $\text{CH}_3\text{NH}_3\text{PbI}_3 \text{xClx}$ ", *J. Phys. Chem. Lett.*, Vol. 5, pp. 1300-1306, 2014.
- [3] G.E. Eperon, S.D. Stranks, C. Menelaou, M.B. Johnston, L.M. Herz, H.J. Snaith, "Formamidinium lead trihalide: a broadly tunable perovskite for efficient planar heterojunction solar cells", *Energy Environ. Sci.*, Vol. 7, pp. 982, 2014.
- [4] C. Roldan-Carmona, O. Malinkiewicz, R. Betancur, G. Longo, C. Momblona, F. Jaramillo, L. Camacho, H.J. Bolink, "High efficiency single-junction semitransparent perovskite solar cells", *Energy Environ. Sci.*, Vol. 7, pp. 2968-2973, 2014.
- [5] K.-T. Lee, L. Guo, H. Park, "Neutral- and Multi-Colored Semitransparent Perovskite Solar Cells", *Molecules*, Vol. 21, pp. 475, 2016.
- [6] E. Della Gaspera, Y. Peng, Q. Hou, L. Spiccia, U. Bach, J.J. Jasieniak, Y.-B. Cheng, "Ultra-thin high efficiency semitransparent perovskite solar cells", *Nano Energy*, Vol. 13, pp. 249-257, 2015.
- [7] S. Wilken, V. Wilkens, D. Scheunemann, R.-E. Nowak, K. von Maydell, J. Parisi, H. Borchert, "Semitransparent Polymer-Based Solar Cells with Aluminum-Doped Zinc Oxide Electrodes", *ACS Appl. Mater. Interfaces*, Vol. 7, pp. 287-300, 2015.
- [8] J.M. Cho, S.K. Lee, S.-J. Moon, J. Jo, W.S. Shin, "MoO₃/Ag/MoO₃ top anode structure for semitransparent inverted organic solar cells", *Curr. Appl. Phys.*, Vol. 14, pp. 1144-1148, 2014.
- [9] H.M. Liddell, "Computer-Aided Techniques for the Design of Multilayer Filters, Adam Hilger Ltd, Bristol", 1981

مقاومت‌های سطحی نمونه‌های تجاری الکتروودهای شفاف مانند ITO و FTO بسیار کمتر است. در شکل ۲ شفافیت نمونه آزمایشگاهی ساخته شده الکتروود شفاف $\text{MoO}_3/\text{Ag}/\text{MoO}_3$ به خوبی مشخص است.

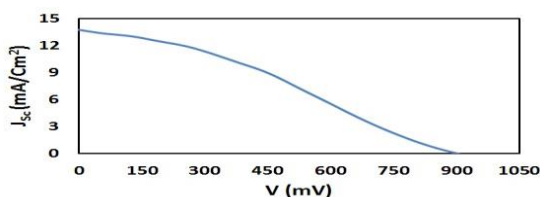


شکل ۱: طیف تراگسیل اپتیکی تجربی و شبیه‌سازی شده الکتروود $\text{MoO}_3/\text{Ag}/\text{MoO}_3$



شکل ۲: نمونه‌ی ساخته شده الکتروود شفاف $\text{MoO}_3/\text{Ag}/\text{MoO}_3$

مشخصات فوتوولتائیک سلول‌های ساخته شده توسط دستگاه ولتاژ-جریان تحت تابش نور با توان ۱۰۰ میلی وات بر سانتی متر مربع اندازه‌گیری شد. منحنی چگالی جریان بر حسب ولتاژ این سلول‌ها در شکل ۳ نشان داده شده است.



شکل ۳: نمودار چگالی جریان-ولتاژ سلول‌های ساخته شده

نتایج نیز به طور خلاصه در جدول ۱ مشاهده می‌شود.

جدول ۱: مقادیر ولتاژ مدار باز، جریان اتصال کوتاه، ضریب پرشدگی و بازدهی

V_{oc} (mV)	J_{sc} (mA/Cm ²)	FF (%)	PCE (%)
۹۱۰	۱۳٫۷۴	۳۲	۴٫۰

مشاهده می‌شود که الکتروود طراحی شده می‌تواند جایگزین مناسبی به عنوان کاندید در سلول‌های خورشیدی باشد.